

## تحليل مستويات الأعطال في شبكة النقل السورية 230 kV

الدكتور خالد الحمصي<sup>1</sup>

الدكتور حسان السويدان<sup>2</sup>

### الملخص

تكتسب مسألة تحليل الأعطال في منظومة القدرة الكهربائية أهمية خاصة إذ يتم فيها حساب مستويات العطل على قضبان تجميع محطات التحويل وجريان الحمولة في فروع الشبكة المعطلة لتحديد مواصفات القواطع الآلية وعبارات حواكم الحماية لمناطق الشبكة كلها.

أجريت في هذا البحث دراسة تحليلية لدارات القصر على الشبكة السورية 230kV وحددت مستويات العطل على قضبان تجميع محطات التحويل في حالات القصر ثلاثي الطور والأحادي الطور مع الأرض، وقورنت استطاعة القصر باستطاعة القطع للقواطع الآلية المركبة على هذه الشبكة.

تبين نتائج الدراسة زيادة مستويات العطل على شبكة النقل السورية نتيجة لزيادة عدد محطات التوليد الجديدة والتوسع في محطات التوليد القائمة المربوطة عليها وخاصة عند عمل هذه الشبكة ضمن شبكة الارتباط الثمانية. كذلك يبين البحث أن مستويات العطل في نقاط كثيرة من الشبكة المدروسة تتجاوز استطاعة القطع التصميمية للقواطع الآلية المركبة عليها؛ مما يؤدي إلى حالات عمل غير نظامية تؤثر في أمان عمل النظام الكهربائي وموثوقيتها وتعرض الأجزاء المختلفة من الشبكة لأضرار كبيرة نتيجة إخفاق هذه القواطع في أداء عملها بالشكل المناسب.

الكلمات المفتاحية: تحليل الأعطال، دارة القصر، استطاعة القصر، استطاعة القطع، شبكة النقل، القواطع الآلية، مستوى العطل، قضبان التجميع، تيار العطل.

<sup>1</sup>وزارة الكهرباء.

<sup>2</sup>كلية الهندسة الميكانيكية والكهربائية - جامعة دمشق.

**1 - مقدمة Introduction:**

تمثل دارات القصر في الشبكات الكهربائية حالات عمل غير نظامية ينجم عنها انهيار الجريان الطبيعي للتيار باتجاه الأحمال، وفي معظم الحالات يكون مسار دائرة القصر بين الأطوار أو بين أحد الأطوار (أو أكثر) والأرض.

وتتميز مسارات دارات القصر بأنها ذات ممانعات منخفضة؛ مما يؤدي إلى قيم عالية لتيارات هذه الدارات.

ويعدُّ انهيار العازلية، بسبب ارتفاع التوتر الناتج إما عن ضربات البرق أو توترات الفصل والوصل، من أهم أسباب حدوث دارات القصر على الخطوط الهوائية، أضاف إلى ذلك الرياح والجليد والأشجار التي تؤدي إلى انهيار النواقل وسلاسل العوازل ميكانيكياً. وكذلك يمكن أن يشكل الضباب وتوضع الرذاذ المالح والغبار الملوث على العوازل شروطاً ملائمة لانهيار هذه العوازل.

وتحدث دارات القصر على المولدات والمحركات والمحولات نتيجة زيادة الحمل الحراري عليها لمدد طويلة من الزمن؛ مما يؤدي إلى تخريب المادة العازلة فيها.

وتعدُّ دراسة النظام الكهربائي في حالات دارات القصر ذات أهمية خاصة لتحديد مستويات العطل على قضبان تجميع وضمن تحمل القواطع لتيارات هذه الدارات، ولمعرفة جريان الحمولة في النظام الناجم عن دارات القصر ولتحديد عيارات حواكم الحماية، وأخيراً للتحقق من العيارات الحرارية للتجهيزات مثل الكابلات والخطوط الهوائية.

يجب تصميم القواطع المستخدمة لحماية الدارات الكهربائية بحيث تعمل بصورة طبيعية في النظام دون

أن تتعرض للعطب حتى في حالات التيارات الكبيرة للأعطال.

ولاختيار القواطع بالعبارة المناسبة يجب معرفة التيار الأعظمي الذي يمكن أن يجري في دارات القصر وطويلة التيارات خلال مدد تلك الدارات، لتعبير تجهيزات الحماية بحيث تعمل في حالات القصر وليس في حالات العمل النظامية [1].

## 2- النموذج الرياضي لحسابات تيارات دارات القصر Model of Short Circuit Calculation Mathematical

تتميز الأعطال الكهربائية بتغير في طويلة تيار دائرة القصر نتيجة لتأثير الممانعة المكافئة للنظام عند نقطة العطل التي تؤدي إلى تخامد المركبة المستمرة DC، وكذلك تأثير الآلات الدوارة التي ينجم عنها تخامد المركبة المتناوبة AC.

## 2-1- تأثير ممانعة النظام Effect of Impedance :System

عند حدوث العطل فإن تيارات النظام لا تتغير آنياً بسبب المقاومات المكافئة للنظام والمفاعلات عند نقطة العطل التي تؤدي إلى تخامد المركبة المستمرة. وتتعلق نسبة التخامد بالقيمة اللحظية للتوتر لحظة حدوث العطل، وبقيمة عامل الاستطاعة للنظام عند نقطة العطل.

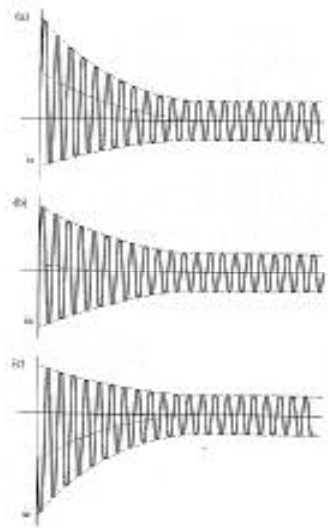
ولإنجاز الحسابات المطلوبة يجب معالجة الأعطال الكهربائية كتابع للزمن من لحظة بداية حدوث العطل عند  $t = 0^+$  حتى بلوغ الشروط المستقرة، ومن ثمَّ من الضروري استخدام المعادلات التفاضلية عند حساب هذه التيارات.

يعطى تيار العطل في الجزء من الشبكة غير الحاوية على آلات دوارة بالعلاقات [2]:

$$i(t) = I_m \sin(\omega t + \alpha - \gamma) - I_m e^{-\frac{t}{\tau}} \sin(\alpha - \gamma) \dots \dots \dots (1)$$

## 2-2- تأثير الآلات الدوارة Synchronous Machines

عندما يحدث العطل بالقرب من أطراف الآلات الدوارة يحدث تخامد لمركبة التيار المتناوب، ويعود ذلك إلى أن الفيض المغناطيسي في ملفات الآلة لا يتغير أنياً بسبب طبيعة الدارات المغناطيسية المؤثرة. ويمكن ملاحظة انخفاض قيمة التيار بسبب الانخفاض التدريجي في الفيض المغناطيسي الناتج عن انخفاض القوة المحركة المغناطيسية لتيار التحريض في الشكل (2)، ويعرف ذلك بأثر رد فعل المتحرض<sup>[4]</sup>.



الشكل (2) التيارات العابرة لدائرة القصر في المولد التزامني  
a : على الطور a، b : على الطور b، c : على الطور c

فيزيائياً ترتبط قيمة مفاعلة الآلة بالزمن، وهذا يجعل الحسابات صعبة جداً، إلا أنه في معظم التطبيقات العملية يمكن اعتبار تغير المفاعلة في ثلاث مراحل فقط دون أن يؤدي ذلك إلى أخطاء كبيرة.

ويتضح من الشكل (3) أن تغير التيار بالزمن  $I(t)$  يمر بثلاثة مستويات  $I, I', I''$ ، التيار تحت العابر، التيار العابر، والتيار الحالة الدائمة على التوالي.

$$I_m = \frac{V_m}{Z} \dots\dots\dots(2)$$

$$Z = \sqrt{(R^2 + \omega^2 L^2)} \dots\dots\dots(3)$$

$$\tau = \frac{L}{R} \dots\dots\dots(4)$$

$$\gamma = \tan^{-1} \frac{\omega L}{R} \dots\dots\dots(5)$$

إذ:

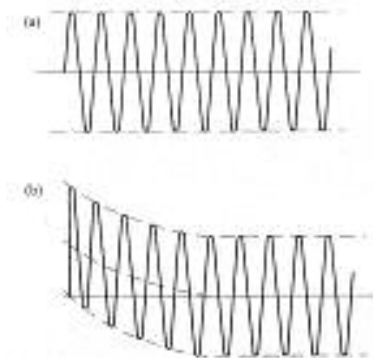
$\alpha$ : زاوية الإغلاق التي تحدد نقطة حدوث العطل على المنحنى الجيبي للتوتر.

نلاحظ من المعادلة (1) أن تيار العطل يتكون من مركبتين: مركبة متناوبة AC تتغير جيبياً، ومركبة مستمرة متخامدة أسياً بثابت زمني  $\frac{L}{R}$ . وتكون القيمة

الابتدائية لهذه المركبة أعظمية عند  $\alpha - \gamma = \pm \frac{\pi}{2}$ ، وتأخذ هذه المركبة القيمة صفر عند  $\alpha = \gamma$ ، كما هو مبين في الشكل (1).

وهناك صعوبة في التنبؤ بالنقطة على المنحنى الجيبي التي سيحدث عندها العطل، ومن ثم المطال الذي ستصل إليه المركبة المستمرة.

إذا تم فصل الدارة بسبب العطل عندما تكون المركبة الجيبية عند قيمتها السالبة فإن المركبة DC تصل إلى قيمتها العظمى النظرية بعد نصف دورة.



الشكل (1) تغير تيار العطل مع الزمن

a : عند  $\alpha - \gamma = 0$

b : عند  $\alpha - \gamma = \frac{\pi}{2}$

**4-2- الكابلات Cables:**

يمكن تطبيق العلاقات الناظمة للخط الهوائي على الكابلات للحصول على محدداتها في الحالة العامة عندما تتوضع النواقل بشكل متناظر. أما التأثيرات الثانوية الناجمة عن الغلاف والحجاب فإنه لا يمكن دائماً حسابها، والأفضل في هذه الحالة أخذها من معطيات الشركة الصانعة.

**5-2- المحولات Transformers:**

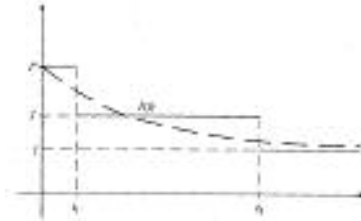
يمثل المحول ثنائي الملفات، في الشبكة الكهربائية، بدارة مكافئة T إذ يمثل العنصر التسلسلي ممانعة القصر والعنصر التفرعي ممانعة التهيج. ويجب الانتباه إلى أنه في حالة المحولات المتعددة الملفات يجب نسب الممانعات كلها إلى أساس واحد.

إن ممانعة العناصر الساكنة Static Elements مستقلة عن المركبات المتناظرة للتوتر المطبق، ولذلك فإن ممانعة المحول للتيارات السالبة والموجبة هي نفسها. وعند تحديد الممانعة الصفرية Zero Impedance فإنه يجب الأخذ بالحسبان طريقة توصيل الملفات وكيفية تأريض نقطة النجمة، وفي بعض الحالات طريقة بناء المحول.

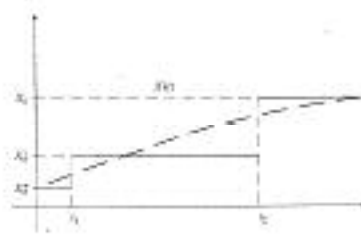
إن وجود مسار للتيارات الصفرية يعني أنه في حالة حدوث عطل إلى الأرض فإن تيارات عدم التوازن ستجري في ملفات المحول، وعادةً تُهمل فرعة المغنطة من الدارة المكافئة للمحول نظراً إلى صغرها مقارنة بالممانعة التسلسلية [10,11].

من أجل المحولات ثلاثية الملفات تُستخدم دارة مكافئة بثلاث نهايات، وتحدد ممانعات التتابع الموجب للممانعات الثلاث من خلال تجربة القصر لكل ملفين على حدة.

يرمز لقيم المفاعلة على المحور المباشر بـ  $X_d, X'd, X''d$ ، ويبين الشكل (4) تغير قيم هذه المفاعلات مع الزمن [3].



الشكل (3) تغير قيمة التيار مع الزمن خلال مرحلة العطل



الشكل (4) تغير مفاعلة المواد مع الزمن خلال فترة العطل

**3-2- الخطوط الهوائية Overhead Lines:**

يمثل خط النقل الهوائي بدارة  $\pi$  باستخدام المحددات المجمعة مع استخدام عوامل تصحيح معينة تأخذ بالحسبان أن بارامترات الخط من حيث الممانعة Impedance والمسارية Admittance موزعة على كامل طول الخط [11,12].

وعادة من أجل الخطوط القصيرة تُهمل السماحية التفرعية؛ الأمر الذي يسهل الحسابات بصورة كبيرة. أما من أجل الخطوط الطويلة فإنه عند حسابات الأعطال لا يمكن إهمال هذه السماحية.

ويبين الجدول /1/ محددات الخطوط ألمنيوم - فولاذ الشائعة الاستخدام في شبكة النقل السورية 230kV عند التردد 50Hz.

الجدول /1/ محددات الخطوط المستخدمة في الشبكة السورية 230kV

TYPE	Cross Section	R ( $\Omega / Km$ )	X ( $\Omega / Km$ )	$\omega c$ ( $\Omega / Km$ )
Al / St	400/51	0.077	0.413	$2.734 \times 10^{-6}$

و توافق تيارات الحالة الثابتة للدائرة القصيرة القيم بين الدورات 6 و30، وهذه التيارات لا تحوي مركبة مستمرة DC، وتستخدم المفاعلات العابرة  $X'd$  في عملية حسابها مع إهمال الأثر التحريضي التزامني. ويبيّن الجدول 2/ قيم المفاعلات المستخدمة في عملية حساب القيم المختلفة لتيار القصر استناداً إلى النظم القياسية IEEE 399-1990. ويمكن لأجل كل حالة حساب القيم الفعلية v.m.s المتناظرة أو غير المتناظرة، وذلك حسب الحالة إن كانت متضمنة المركبة المستمرة DC أو غير متضمنة هذه المركبة. تحسب القيم الفعلية غير المتناظرة للمركبات المستمرة و المتناوبة من العلاقة [4]:

$$I = \sqrt{I_{DC}^2 + I_{AC}^2} \dots\dots\dots(6)$$

ويتم الحصول على القيمة الأعظمية بضرب القيمة الفعلية بـ  $\sqrt{2}$ .

الجدول 2/ قيم المفاعلات المستخدمة في حسابات تيارات

#### العطل

#### حساب IEEE399-1990

Dist. calculation (see Part I)	System component	Multiplier value for multi-volt high-voltage calculation per IEEE Std C37.101-1990 and IEEE Std C37.109	Multiplier value for low-voltage calculation (see Part 2)
Fault cycle instantaneous calculation	Power company supply	1.0	1.0
	All salient generators with automatic exc. sys. all conditions	1.0	1.0
	Hydrogenerators without automatic exc. winding	0.75	0.75
	All synchronous motors	1.0	1.0
	Induction motors	1.0	1.0
	Motor 1000 hp Above 250 hp at 1000v class All other, 50 hp and above All smaller than 50 hp	1.0 1.0 1.2 1.0	1.0 1.0 1.2 1.0
Interrupting calculation	Power company supply	1.0	N/A
	All salient generators, all hydro-generators with automatic excitation sys. all conditions	1.0	N/A
	Hydrogenerators without automatic exc. winding	0.75	N/A
	All synchronous motors	1.0	N/A
	Induction motors	1.0	N/A
	Motor 1000 hp Above 250 hp at 1000v class All other, 50 hp and above All smaller than 50 hp	1.0 1.0 1.2 1.0	N/A N/A N/A N/A

#### 4- حساب تيارات العطل Fault Current Calculation:

يستخدم التيار اللحظي عند تحديد تيار الإغلاق للقواطع، بعد نصف الدورة الأولى تتخامد المركبة

#### 3- نماذج تيارات العطل Fault Current Models:

تتغير مستويات دارة القصر خلال العطل بصورة ملموسة نظراً إلى الانخفاض السريع للتيار بسبب رد فعل المتحرض للآلات التزامنية والتأخير الزمني للقوس الكهربائي.

لهذا فإنه يجب حساب تيارات دارة القصر بعناية للحصول على القيمة الصحيحة لكل حالة من الحالات. وتصنف النظم القياسية ANSI/IEEE C37.101 والنظم الدولية IEC6090 تيارات دارة القصر ضمن أربعة نماذج: التيار اللحظي Momentary Current أو تيار الدورة الأولى، التيار الأعظمي Peak Current، تيار الفصل أو القطع Interrupting or Breaking Current و تيار الحالة الثابتة Steady-state Current.

التيارات اللحظية أو تيارات الدارة الأولى هي التيارات خلال النصف الأول من الدور بعد بدء العطل، ويشار في النظم الأوروبية إلى هذه القيم بـ  $I_K''$ ، وهذه القيم هي التي تتحسس بها تجهيزات الحماية للقواطع الآلية عند حدوث العطل. وتحسب هذه التيارات بوجود المركبة المستمرة وبفرض أن المركبة المتناوبة غير متناقصة في المصدر، وتستخدم المفاعلات تحت العابرة  $X''d$  في عملية الحساب [4].

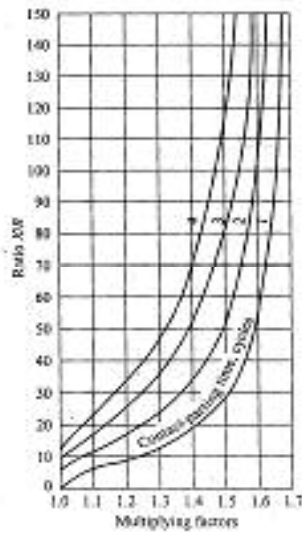
وتوافق التيارات العظمى القيم العظمى خلال الدورة الأولى بعد حدوث العطل، وتختلف عن تيارات الدورة الأولى بأنها كلية غير متناظرة. أمّا تيارات الفصل فهي القيم التي يجب فصلها من قبل تجهيزات الحماية، وتدعى هذه القيم في النظم الأوروبية بتيارات الفصل، وتحسب عادةً في المجال من ثلاث إلى خمس دورات، وتشمل هذه التيارات المركبة المستمرة DC وبعض الانخفاض في المركبة المتناوبة.

ويبين الشكل (5) العلاقة  $\frac{I_{asy.int}}{I_{sy}}$  لأجل قيم مختلفة

للنسبة  $\frac{X}{R}$ ، ولأجل فترات زمنية مختلفة لفصل

تماسات القاطع، وذلك وفقاً للنظم القياسية ANSI C37.5-1979.

وفي دراسات تنسيق الحماية تستخدم القيم الفعالة للتيار المتناظر في تعبير التأخير الزمني للحواكم، أمّا من أجل تعبير العناصر الآتية فتستخدم القيم نفسها، ولكن بعد ضربها بعامل خاص لكل نوع من التطبيقات.



الشكل (5) عوامل الضرب للأعطال الثلاثية الطور، وطور مع الأرض استناداً إلى المواصفات القياسية IEEE C 37.5-1979.

## 5 - حساب تيارات دارات القصر على الشبكة السورية: Fault Current Calculation on Syrian Network

استناداً إلى الدراسة السابقة والبيانات المقدمة من

وزارة الكهرباء سيتم حساب دارات القصر على الشبكة السورية 230kV لتحديد سويات العطل على قضبان التجميع لمحطات التحويل وإيجاد التيارات في فروع الشبكة في أثناء حدوث العطل للتأكد من ساعات

المتناوبة والمركبة المستمرة بمقدار 15% من قيمتها الابتدائية ومن ثمّ من المعادلة (6) تكون القيمة الفعالة للتيار:

$$I = \sqrt{\left(\frac{0.9\sqrt{2}V}{X_d''}\right)^2 + \left(\frac{0.9V}{X_d''}\right)^2} \dots\dots\dots (7)$$

$$= \frac{1.56V}{X_d''} = 1.56 I_{sy}$$

إذ:

$I_{sy}$ : المركبة المتناوبة المتناظرة لتيار العطل وعادة تستخدم الشركات الصانعة العامل 1.6 في مثل هذه الحسابات.

ويتم الحصول على مركبة القمة (المركبة العظمى) عن طريق جمع المركبة المتناوبة إلى المركبة المستمرة، وتجدر الملاحظة إلى أنه في هذه الحالة تضرب المركبة المتناوبة بالمقدار  $\sqrt{2}$  ومن ثمّ:

$$I_{peak} = I_{DC} + I_{AC}$$

$$= \left(\frac{0.9\sqrt{2}V}{X_d''}\right) + \left(\frac{0.9\sqrt{2}V}{X_d''}\right) \dots\dots\dots (8)$$

$$= 2.55 I_{sy}$$

تستخدم القيمة الفعلية لتيار القطع عند تحديد تيار القطع غير المتناظر  $I_{asy.int}$  للقاطع. وتدخل في هذه القيمة الفعلية مركبة التيار المتناوب AC ومركبة التيار المستمر DC وبذلك يكون:

$$I_{asy.int} = \sqrt{I_{DC}^2 + I_{AC}^2} \dots\dots\dots (9)$$

وبالتعويض عن المركبة المستمرة بالعلاقة الأسية المتخادمة نحصل على:

$$I_{asy.int} = \sqrt{\left(\sqrt{2}I_{sy.int} e^{-(R/L)t}\right)^2 + I_{sy.int}^2} \dots\dots\dots (10)$$

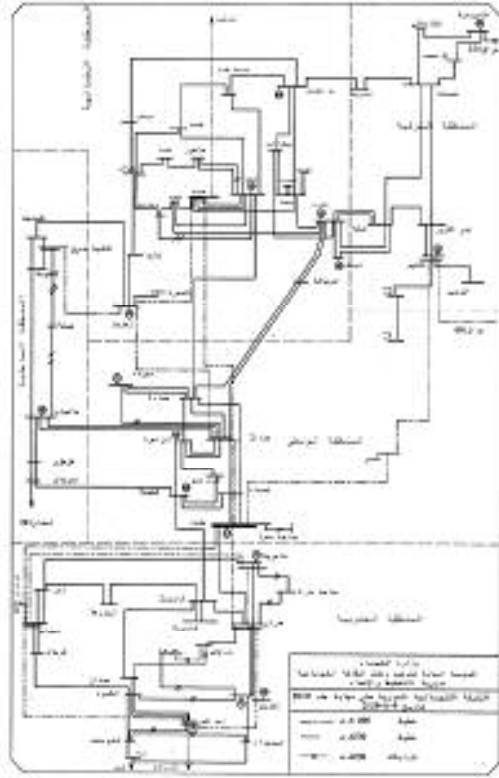
$$= I_{sy.int} \sqrt{2e^{-2(R/L)t} + 1}$$

أي إن:

$$I_{asy.int} = K I_{sy} \dots\dots\dots (11)$$

وتتراوح قيمة العامل K بين  $\sqrt{3}$  عند  $t = 0$  و 1 عند القيم الكبيرة لـ t.

الحمولات فسيتم تمثيلها بسماحياتها وباستخدام توترات قضبان التجميع قبل العطل.



الشكل (6) الشبكة الكهربائية السورية 230-400kV

وسنستخدم قيم توترات قضبان التجميع قبل العطل من دراسة جريان الحمولة للنظام الكهربائي. سندرس دائرة القصر الثلاثية الطور المتناظرة على أساس طور واحد، أما الطوران الآخران فيحملان تيارات مماثلة تختلف عن بعضها بعضاً بزوايا الطور.

وسنستخدم حسابات العطل باستخدام طريقة مصفوفة ممانعات العقد  $Z_{bus}$  وفقاً لما يأتي:  
أولاً: العطل الثلاثي الطور المتناظر سيحسب تيار العطل على قضيب التجميع K مثلاً من العلاقة [5]:

$$I_K(F) = \frac{V_K(0)}{Z_{KK} + Z_f} \dots (12)$$

القطع للقواطع المركبة وعايرات دارات الحماية، ويبين الشكل (6) شبكة النقل السورية 230-400kV، وفيه نلاحظ أن الشبكة 230kV لا تزال تشكل شبكة النقل الرئيسية في المنظومة السورية على الرغم من دخول عدد من محطات التحويل وخطوط النقل 400kV. [13]

وسيتم التركيز في هذا البحث على القصر ثلاثي الطور المتناظر الذي يشمل الأطوار الثلاثة معاً، والذي يمثل أفسى أنواع الأعطال الكهربائية على الشبكة، ويتميز بأكبر تيار عطل.

فضلاً عن العطل أحادي الطور نظراً إلى أن معظم الأعطال (نحو 70%) التي تحدث على الشبكات الكهربائية هي من هذا النوع ويمكن أن يؤدي هذا النوع من الأعطال إلى مرور تيار عطل أكبر من تيار العطل المتوازن في بعض الحالات، مثلاً عندما يحدث العطل على قضبان تجميع محطات التوليد مباشرة أو في حال وجود مجموعة من المحولات المربوطة على التفرع في محطات التحويل حيث يكون تيار العطل أكبر بنحو 20% من تيار العطل الثلاثي الطور بسبب تيارات جسم المحولة التي تخفض المفاعلة الصفيرية للمحولة بصورة ملحوظة، وكذلك عند وجود محولات نقطتها النجمية مؤرضة بشكل مباشر [2].

وفي مثل هذه الحالات نعتد العطل طوراً مع الأرض لاختيار القاطع الآلي وليس العطل المتوازن.

تبدأ عملية الحساب من مخطط الخط الواحد للشبكة وتحديد الممانعات المكافئة لعناصر النظام الكهربائي الفعالة منها (الآلات الدوارة) وغير الفعالة (خطوط - محولات)، وسيتم استخدام المفاعلة تحت العبارة  $X''d$  للمولدات وستمثل الخطوط الهوائية بدارة  $\pi$  والمحولات بدارة T حيث يمثل العنصر التسلسلي ممانعة القصر والعنصر التفرعي ممانعة التهيج، أما

إذ : قيمة التوتر قبل حدوث العطل، والممانعات الموجبة  $Z_1$  والسالبة  $Z_2$  و الصفرية  $Z_0$ . ولما كان المولد مصمماً ليعطي توترات متوازنة فإن التوترات المولدة تكون ذات مركبة موجبة فقط، ومن ثم فإن الشبكة الموجبة فقط تحوي منبعاً للقوة المحركة الكهربائية e.m.f على التسلسل مع الممانعة الموجبة، أما الشبكة السالبة والصفرية فلا تحتوي على منابع للقوة المحركة الكهربائية، وتحتوي فقط على الممانعات السالبة والصفرية على التوالي.

ومن المعروف أن الممانعة الموجبة والسالبة لدارات الخطوط الهوائية متساوية، في حين تختلف الممانعة الصفرية عن الممانعة الموجبة والسالبة حيث يختلف الحقل المغناطيسي الناتج عن التيارات الموجبة والسالبة عن الحقل المغناطيسي الناتج عن التيارات الصفرية.

فيما يخص المحولات  $Z_1 = Z_2$  لأن هذه الممانعات غير متعلقة بتعاقب الأطوار شريطة أن تكون التوترات المطبقة متوازنة، تكون الممانعة الصفرية إما مساوية للممانعة الموجبة والسالبة أو لا نهائية وذلك تبعاً لتوصيلات المحولة. وعادة تكون المقاومة الأومية للملفات صغيرة، ويمكن إهمالها في حسابات دارات القصر.

عند نمذجة المولدات تم أهملت المقاومة الأومية للملفات، واستخدمت فقط مفاعلات الآلات التزامنية:

المفاعلة تحت العابرة  $X_d''$  و المفاعلة العابرة  $X_d'$ ، وذلك تبعاً لزمان فصل العطل إذ تم استخدام المفاعلة تحت العابرة لحظة حدوث العطل، أما المفاعلة العابرة فيتم استخدامها في حالة التأخير الزمني حيث ينخفض مستوى العطل خلال 0.1sec إلى قيم يتم تحديدها استناداً إلى هذه المفاعلة. عند وصول تيار العطل إلى

$V_k(0)$ : توتر العقدة k قبل حدوث العطل ويأخذ من نتائج حساب جريان الحمولة على الشبكة قبل حدوث العطل

$Z_{KK}$ : الممانعة الذاتية للعقدة k في مصفوفة ممانعات العقد

$Z_f$ : ممانعة العطل وتفرض مساوية للصفر نظراً إلى عدم توافر معلومات عنها.

أي أنه لتحديد مستوى العطل على أي قضيب تجميع نحتاج فقط إلى الممانعة الذاتية لكل عقدة من العقد وتوتر هذه العقد قبل حدوث العطل.

ونحسب توتر قضبان التجميع في أثناء العطل عن طريق تحديد تغير التوتر في شبكة ثيفينين وتطبيق مبدأ التراكم، وذلك بجمع التوتر قبل العطل لكل قضيب تجميع مع تغيير التوتر لقضيب التجميع أي :

$$V_i(F) = V_i(0) - \frac{Z_{iK}}{Z_{KK} + Z_f} \dots \dots (13)$$

إذ :

$V_i(0)$ : توتر العقدة إلى قبل حدوث العطل

$Z_{iK}$ : الممانعة المتبادلة بين العقدة i والعقدة k

وبعد معرفة توترات قضبان التجميع في أثناء العطل يحسب تيار العطل في الخطوط، مثلاً يحسب تيار العطل المار في الخط الواصل بين قضيب التجميع i و قضيب التجميع j الذي ممانعته  $Z_{ij}$  من العلاقة:

$$I_{ij}(F) = \frac{V_i(F) - V_j(F)}{Z_{ij}} \dots \dots (14)$$

وهذا التيار هو جزء من تيار العطل المار من العقدة i إلى العقدة j من الشبكة التي حدث فيها العطل.

أمّا العطل طور مع الأرض فالمعروف أن هذا العطل غير متناظر لذلك سيتم استخدام طريقة المركبات المتناظرة لحساب هذا النوع من الأعطال انطلاقاً من



عطل طور مع الأرض تمثل شروط هذا العطل بالمعادلات:

$$I_b = 0, I_c = 0, V_a = 0 \dots\dots (17)$$

تكون الشبكات المتعاقبة في هذه الحالة متصلة على التسلسل، وتحسب المركبة الموجبة للتيار بطريقة مصفوفة ممانعات العقد من العلاقة [7]:

$$I_{1K} = \frac{V_{1K}^0}{Z_{1K} + Z_{2K} + Z_{0K} + 3Z_f} \dots\dots\dots (18)$$

وفي هذا النوع من الأعطال تكون قيمة المركبة السالبة والصفريّة لتيار العطل مساوية لقيمة المركبة الموجبة أي:

$$I_{2K} = I_{0K} = I_{1K} \dots\dots\dots (19)$$

ومن ثمّ فإن تيار العطل الكلي لطور مع الأرض يكون:

$$I_K = 3I_{1K} \dots\dots\dots (20)$$

أما توترات قضبان التجميع في أثناء العطل فيتم تحديد كل منها عن طريق تحديد المركبات الثلاث لكل توتر من العلاقات الآتية:

$$V_{1K}(F) = V_{1K}^0 - Z_{1K}I_{1K} ; i = 1, 2, \dots, n \dots\dots\dots$$

$$\dots\dots\dots (21)$$

$$V_{2K}(F) = -Z_{2K}I_{2K}$$

$$V_{0K}(F) = -Z_{0K}I_{0K}$$

وتحسب التيارات في الخطوط بدلالة توترات العقد في أثناء العطل وممانعات هذه الخطوط وعلى نحوٍ مشابه لحالة تيار العطل الثلاثي الطور.

أُجريت سلسلة من الحسابات للتحقق من مستويات العطل على عقد الشبكة 230kV وفروعها المختلفة وذلك بواسطة برنامج تحليل الشبكات الكهربائية PSS/E، وهو برنامج تفاعلي مع المستثمر نستطيع من خلاله دراسة الأعطال بأنواعها المختلفة على عقد الشبكة وفروعها استناداً إلى الخوارزمية المبينة في

الحالة المستقرة يتم تحديد تيار العطل تبعاً لقيمة المفاعلة التزامنية للآلة.

ويبين الجدول 3/ قيم المفاعلات للآلات التزامنية بالكميات الواحدة [6]:

الجدول 3/ قيم المفاعلات للآلات التزامنية بالكميات الواحدة

Type and rating of machine	Positive sequence			Negative sequence $X_2$	Zero sequence $X_0$	Short-circuit ratio
	$X_1$	$X_2$	$X_0$			
11 kV Salient-pole alternator without dampers	22.0	33.8	130	22.0	8.0	—
11.8 kV 60 MW 7.5 MVA Turbo-alternator	17.5	17.5	261	13.5	6.3	0.95
11.8 kV 36 MW 7.5 MVA Gas-turbine turbo-alternator	30.0	14.8	175	13.0	5.0	0.68
11.8 kV 78 MW 82.5 MVA Gas-turbine turbo-alternator	34.0	19.0	185	16.0	7.5	0.55
13.2 kV 180 MW 125 MVA Turbo-alternator	20.0	28.0	306	22.4	9.4	0.58
16.0 kV 275 MW 324 MVA Turbo-alternator	35.0	23.5	260	18.0	8.0	0.40
18.5 kV 390 MW 353 MVA Turbo-alternator	39.0	25.5	265	19.0	11.0	0.40
22 kV 540 MW 398 MVA Turbo-alternator	20.5	28.0	255	20.0	6.0-12.0	0.40
22 kV 600 MW 376 MVA Turbo-alternator	23.0	28.0	287	26.0	15.0	0.50

وتبلغ قيمة التيار المار في الممانعة  $Z_n$  بين الحيادي و الأرض ثلاثة أمثال التيار الصفري، كما أن الممانعة الصفريّة لها القيمة:

$$Z_0 = Z_n + Z_{e0} \dots\dots\dots (15)$$

وتحسب قيمة التوترات للطور a من العلاقات:

$$V_{a1} = E_a - I_{a1}Z_1$$

$$V_{a2} = -I_{a2}Z_2 \dots\dots\dots (16)$$

$$V_{a0} = -I_{a0}Z_0$$

إذ:

$E_a$ : القوة المحركة الكهربائية للشبكة الموجبة.

$Z_1$ : الممانعة الموجبة للمولد.

$Z_2$ : الممانعة السالبة للمولد.

$Z_0$ : الممانعة الصفريّة، وتساوي الممانعة الصفريّة للمولد (Zgo) فضلاً عن ثلاثة أمثال الممانعة إلى الأرض.

ترتبط الشبكات الموجبة والسالبة والصفريّة التي تحمل التيارات  $I_0, I_1, I_2$  مع بعضها بعضاً بطريقة معينة لتمثيل شروط العطل غير المتوازن، فمثلاً في حالة

برامج جزئية خاصة، ومن ثم تطبع لتدقيقها من قبل المستثمر.

ونظراً إلى الحجم الكبير الذي تشغله هذه البيانات سنكتفي بعرض بيانات العمل الابتدائية للمولدات الكهربائية في محطات التوليد، كما هي مبينة في الجدول/4.

الجدول/4 بيانات العمل الابتدائية للمولدات الكهربائية العاملة في محطات التوليد

X	GEN	ID	ETERM	KFD	PEREN	VRMS	P.F.	AMPLK	
25954	SWDGT01	10.5	1	1.0580	2.0327	20.00	11.56	0.8028	29.25
25955	SWDGT02	10.5	1	1.0580	2.0327	20.00	11.56	0.8028	29.25
31141	TSRST01	15.0	1	1.0000	3.0875	177.74	160.92	0.7522	27.88
31142	TSRST02	15.0	1	1.0000	3.0875	208.00	157.92	0.7848	31.27
31143	TSRST03	15.0	1	1.0100	2.7062	100.00	82.94	0.7497	22.76
31144	TSRST04	15.0	1	1.0100	2.7062	100.00	82.94	0.7497	22.76
31201	NASRST01	15.0	1	1.0100	2.5997	100.00	75.65	0.7975	24.63
31202	NASRST02	15.0	1	1.0100	2.5997	100.00	75.65	0.7975	24.63
31203	NASRST03	15.0	1	1.0100	2.5997	100.00	75.65	0.7975	24.63
32401	JANDGT01	15.0	1	1.0600	2.5077	180.00	63.22	0.8529	29.14
32402	JANDGT02	15.0	1	1.0600	2.5077	180.00	63.22	0.8529	29.14
32403	JANDGT03	15.0	1	1.0600	2.5077	180.00	63.22	0.8529	29.14
32404	JANDGT04	15.0	1	1.0600	2.5077	180.00	63.22	0.8529	29.14
32405	JANDGT05	15.0	1	1.0600	2.5077	180.00	63.22	0.8529	29.14
32406	JANDGT06	15.0	1	1.0600	2.5077	180.00	63.22	0.8529	29.14
32407	JANDGT07	15.0	1	1.0600	2.5077	180.00	63.22	0.8529	29.14
32408	JANDGT08	15.0	1	1.0600	2.5077	180.00	63.22	0.8529	29.14
32409	JANDGT09	15.0	1	1.0600	2.5077	180.00	63.22	0.8529	29.14
32410	JANDGT10	15.0	1	1.0600	2.5077	180.00	63.22	0.8529	29.14
32411	JANDGT11	15.0	1	1.0600	2.5077	180.00	63.22	0.8529	29.14
32412	JANDGT12	15.0	1	1.0600	2.5077	180.00	63.22	0.8529	29.14
32413	JANDGT13	15.0	1	1.0600	2.5077	180.00	63.22	0.8529	29.14
32414	JANDGT14	15.0	1	1.0600	2.5077	180.00	63.22	0.8529	29.14
32415	JANDGT15	15.0	1	1.0600	2.5077	180.00	63.22	0.8529	29.14
32416	JANDGT16	15.0	1	1.0600	2.5077	180.00	63.22	0.8529	29.14
32417	JANDGT17	15.0	1	1.0600	2.5077	180.00	63.22	0.8529	29.14
32418	JANDGT18	15.0	1	1.0600	2.5077	180.00	63.22	0.8529	29.14
32419	JANDGT19	15.0	1	1.0600	2.5077	180.00	63.22	0.8529	29.14
32420	JANDGT20	15.0	1	1.0600	2.5077	180.00	63.22	0.8529	29.14
32421	JANDGT21	15.0	1	1.0600	2.5077	180.00	63.22	0.8529	29.14
32422	JANDGT22	15.0	1	1.0600	2.5077	180.00	63.22	0.8529	29.14
32423	JANDGT23	15.0	1	1.0600	2.5077	180.00	63.22	0.8529	29.14
32424	JANDGT24	15.0	1	1.0600	2.5077	180.00	63.22	0.8529	29.14
32425	JANDGT25	15.0	1	1.0600	2.5077	180.00	63.22	0.8529	29.14
32426	JANDGT26	15.0	1	1.0600	2.5077	180.00	63.22	0.8529	29.14
32427	JANDGT27	15.0	1	1.0600	2.5077	180.00	63.22	0.8529	29.14
32428	JANDGT28	15.0	1	1.0600	2.5077	180.00	63.22	0.8529	29.14
32429	JANDGT29	15.0	1	1.0600	2.5077	180.00	63.22	0.8529	29.14
32430	JANDGT30	15.0	1	1.0600	2.5077	180.00	63.22	0.8529	29.14
32431	JANDGT31	15.0	1	1.0600	2.5077	180.00	63.22	0.8529	29.14
32432	JANDGT32	15.0	1	1.0600	2.5077	180.00	63.22	0.8529	29.14
32433	JANDGT33	15.0	1	1.0600	2.5077	180.00	63.22	0.8529	29.14
32434	JANDGT34	15.0	1	1.0600	2.5077	180.00	63.22	0.8529	29.14
32435	JANDGT35	15.0	1	1.0600	2.5077	180.00	63.22	0.8529	29.14
32436	JANDGT36	15.0	1	1.0600	2.5077	180.00	63.22	0.8529	29.14
32437	JANDGT37	15.0	1	1.0600	2.5077	180.00	63.22	0.8529	29.14
32438	JANDGT38	15.0	1	1.0600	2.5077	180.00	63.22	0.8529	29.14
32439	JANDGT39	15.0	1	1.0600	2.5077	180.00	63.22	0.8529	29.14
32440	JANDGT40	15.0	1	1.0600	2.5077	180.00	63.22	0.8529	29.14
32441	JANDGT41	15.0	1	1.0600	2.5077	180.00	63.22	0.8529	29.14
32442	JANDGT42	15.0	1	1.0600	2.5077	180.00	63.22	0.8529	29.14
32443	JANDGT43	15.0	1	1.0600	2.5077	180.00	63.22	0.8529	29.14
32444	JANDGT44	15.0	1	1.0600	2.5077	180.00	63.22	0.8529	29.14
32445	JANDGT45	15.0	1	1.0600	2.5077	180.00	63.22	0.8529	29.14
32446	JANDGT46	15.0	1	1.0600	2.5077	180.00	63.22	0.8529	29.14
32447	JANDGT47	15.0	1	1.0600	2.5077	180.00	63.22	0.8529	29.14
32448	JANDGT48	15.0	1	1.0600	2.5077	180.00	63.22	0.8529	29.14
32449	JANDGT49	15.0	1	1.0600	2.5077	180.00	63.22	0.8529	29.14
32450	JANDGT50	15.0	1	1.0600	2.5077	180.00	63.22	0.8529	29.14
32451	JANDGT51	15.0	1	1.0600	2.5077	180.00	63.22	0.8529	29.14
32452	JANDGT52	15.0	1	1.0600	2.5077	180.00	63.22	0.8529	29.14
32453	JANDGT53	15.0	1	1.0600	2.5077	180.00	63.22	0.8529	29.14
32454	JANDGT54	15.0	1	1.0600	2.5077	180.00	63.22	0.8529	29.14
32455	JANDGT55	15.0	1	1.0600	2.5077	180.00	63.22	0.8529	29.14
32456	JANDGT56	15.0	1	1.0600	2.5077	180.00	63.22	0.8529	29.14
32457	JANDGT57	15.0	1	1.0600	2.5077	180.00	63.22	0.8529	29.14
32458	JANDGT58	15.0	1	1.0600	2.5077	180.00	63.22	0.8529	29.14
32459	JANDGT59	15.0	1	1.0600	2.5077	180.00	63.22	0.8529	29.14
32460	JANDGT60	15.0	1	1.0600	2.5077	180.00	63.22	0.8529	29.14
32461	JANDGT61	15.0	1	1.0600	2.5077	180.00	63.22	0.8529	29.14
32462	JANDGT62	15.0	1	1.0600	2.5077	180.00	63.22	0.8529	29.14
32463	JANDGT63	15.0	1	1.0600	2.5077	180.00	63.22	0.8529	29.14
32464	JANDGT64	15.0	1	1.0600	2.5077	180.00	63.22	0.8529	29.14
32465	JANDGT65	15.0	1	1.0600	2.5077	180.00	63.22	0.8529	29.14
32466	JANDGT66	15.0	1	1.0600	2.5077	180.00	63.22	0.8529	29.14
32467	JANDGT67	15.0	1	1.0600	2.5077	180.00	63.22	0.8529	29.14
32468	JANDGT68	15.0	1	1.0600	2.5077	180.00	63.22	0.8529	29.14
32469	JANDGT69	15.0	1	1.0600	2.5077	180.00	63.22	0.8529	29.14
32470	JANDGT70	15.0	1	1.0600	2.5077	180.00	63.22	0.8529	29.14
32471	JANDGT71	15.0	1	1.0600	2.5077	180.00	63.22	0.8529	29.14
32472	JANDGT72	15.0	1	1.0600	2.5077	180.00	63.22	0.8529	29.14
32473	JANDGT73	15.0	1	1.0600	2.5077	180.00	63.22	0.8529	29.14
32474	JANDGT74	15.0	1	1.0600	2.5077	180.00	63.22	0.8529	29.14
32475	JANDGT75	15.0	1	1.0600	2.5077	180.00	63.22	0.8529	29.14
32476	JANDGT76	15.0	1	1.0600	2.5077	180.00	63.22	0.8529	29.14
32477	JANDGT77	15.0	1	1.0600	2.5077	180.00	63.22	0.8529	29.14
32478	JANDGT78	15.0	1	1.0600	2.5077	180.00	63.22	0.8529	29.14
32479	JANDGT79	15.0	1	1.0600	2.5077	180.00	63.22	0.8529	29.14
32480	JANDGT80	15.0	1	1.0600	2.5077	180.00	63.22	0.8529	29.14
32481	JANDGT81	15.0	1	1.0600	2.5077	180.00	63.22	0.8529	29.14
32482	JANDGT82	15.0	1	1.0600	2.5077	180.00	63.22	0.8529	29.14
32483	JANDGT83	15.0	1	1.0600	2.5077	180.00	63.22	0.8529	29.14
32484	JANDGT84	15.0	1	1.0600	2.5077	180.00	63.22	0.8529	29.14
32485	JANDGT85	15.0	1	1.0600	2.5077	180.00	63.22	0.8529	29.14
32486	JANDGT86	15.0	1	1.0600	2.5077	180.00	63.22	0.8529	29.14
32487	JANDGT87	15.0	1	1.0600	2.5077	180.00	63.22	0.8529	29.14
32488	JANDGT88	15.0	1	1.0600	2.5077	180.00	63.22	0.8529	29.14
32489	JANDGT89	15.0	1	1.0600	2.5077	180.00	63.22	0.8529	29.14
32490	JANDGT90	15.0	1	1.0600	2.5077	180.00	63.22	0.8529	29.14
32491	JANDGT91	15.0	1	1.0600	2.5077	180.00	63.22	0.8529	29.14
32492	JANDGT92	15.0	1	1.0600	2.5077	180.00	63.22	0.8529	29.14
32493	JANDGT93	15.0	1	1.0600	2.5077	180.00	63.22	0.8529	29.14
32494	JANDGT94	15.0	1	1.0600	2.5077	180.00	63.22	0.8529	29.14
32495	JANDGT95	15.0	1	1.0600	2.5077	180.00	63.22	0.8529	29.14
32496	JANDGT96	15.0	1	1.0600	2.5077	180.00	63.22	0.8529	29.14
32497	JANDGT97	15.0	1	1.0600	2.5077	180.00	63.22	0.8529	29.14
32498	JANDGT98	15.0	1	1.0600	2.5077	180.00	63.22	0.8529	29.14
32499	JANDGT99	15.0	1	1.0600	2.5077	180.00	63.22	0.8529	29.14
32500	JANDGT100	15.0	1	1.0600	2.5077	180.00	63.22	0.8529	29.14

إذ:

ID: رمز مرجعي إذا كانت قيمته مساوية للواحد فهذا يعني أن المولد في حالة عمل، أما إذا كانت مساوية للصفر فذلك يدل على أن المولد خارج الخدمة  
ETERM: التوتر على أقطاب المولد

الشكل(7). ونقدم فيما يأتي شرحاً موجزاً عن البرنامج وإمكاناته وطريقة إدخال المعطيات وإخراج النتائج:

يعدّ البرنامج PSS/E برنامجاً شاملاً لتحليل الشبكات الكهربائية، ويشمل ذلك جريان الحملات وحسابات الأعطال ودراسات الاستقرار [8].

ويضم النموذج الخاص بحسابات دارات القصر عدة خوارزميات لتلبية النواحي المختلفة لتحليل الأعطال سواء كانت ثلاثية الطور أم أحادية الطور أو طوراً مع طور. وتشكل نتائج جريان الحملات القاعدة الأساس لعمل هذه الخوارزميات، وتعتمد على نظام المركبات المتناظرة الموجبة والسالبة والصفيرية والدارات المكافئة لعناصر نظم القدرة الكهربائية اللازمة لتشكيل مصفوفة الممانعات للنظام.

يتم إدخال المعطيات إلى البرنامج عن طريق الملفات العاملة Working Files وتضم معطيات العقد Bus Data والأحمال Load Data والخطوط Branch Data والمحولات Transformers وتصنف هذه الملفات وفقاً لما يأتي:

Power Flow Row Data: وتضم معطيات جريان الحملات لتشكيل حالة العمل الأساس Initial Working Case

Machine Impedance Data Files: وتغطي معطيات وحدات التوليد في عقد التوليد

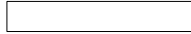
Sequence Data Files: وتضم معطيات المركبات السالبة والصفيرية لعناصر النظام

Drawing Coordinate Data Files: وتضم معطيات الإحداثيات اللازمة لبناء مخطط الخط الواحد لنظام القدرة الكهربائية

Fault Specification Data Files: وتضم البيانات الخاصة بالأعطال من حيث نوعها ومكان حدوثها.

أن هناك بعض العقد مثل التيم و حلب / A / وحلب B/ وعدرا /2/ والميدان /2/ التي يكون فيها تيار العطل الأحادي الطور، أكبر من تيار العطل الثلاثي الطور ويعود السبب في ذلك إلى صغر قيمة الممانعة الصفرية للمولدات، أو وجود عدد من المحولات المربوطة على التفرع أو مؤرضة بشكل مباشر في محطات التحويل لتلك العقد.

4- تراوحت قيمة زاوية العطل في المجال [70،-85] درجة؛ مما يشير إلى عامل استطاعة متدنٍ في حالات الأعطال نظراً إلى الطبيعة الردية للشبكة في هذه الحالات.



EFD: توتر دارة التهيج  
POWER: الاستطاعة الفعلية على خرج المولد  
VARS: الاستطاعة الردية على خرج المولد  
P.F.: عامل الاستطاعة

ANGEL: زاوية العمل (العزم) الابتدائية  
أما نتائج الحسابات فتُنقل إلى ملف خاص بالنتائج التي يتم ترتيبها على شكل جداول يمكن قراءتها على شاشة الحاسب مباشرة أو إخراجها بشكل مطبوع Printout. تم بدايةً إنجاز حساب المركبة المتناظرة المتناوبة من تيار العطل الثلاثي والأحادي الطور على عقد الشبكة والخطوط المتصلة بها جميعها دون تأخير زمني، وتبين الجداول /5/ و/6/ هذه النتائج على كل من عقدة عدرا /2/ وحماه/2/ والخطوط المتصلة بها كأمتثلة على هذه الحسابات.

وبين الجدول /7/ ملخصاً لنتائج الحسابات على العقد جميعها، ونسجل الملاحظات التالية على نتائج هذه الدراسة:

1- تراوحت قيمة تيار العطل (المركبة المتناوبة) في حالة العطل الثلاثي الطور بين قيمة عظمى 30.618KA على محطة حماه/2/ وقيمة دنيا 2.25KA على محطة الدوير، وفي حالة العطل الأحادي بين قيمة عظمى 25.897KA على محطة حماه /2/ وقيمة 2.44KA على محطة الدوير.

2- يلاحظ زيادة مستويات العطل على ما كانت عليه قبل العام 2000، وذلك نتيجة دخول عدد من محطات التوليد الجديدة، فضلاً عن التوسعات في بعض محطات التوليد القائمة، مما أسهم في زيادة عدد منابع المغذية لنقطة العطل. ومن المتوقع زيادة سوية العطل مرة أخرى نتيجة عمل المنظومة الكهربائية السورية ضمن شبكة الارتباط الثمانية.

3- قيمة تيار العطل الثلاثي الطور أكبر من قيمة تيار العطل الأحادي الطور في كثير من عقد الشبكة، غير

